

میکروسکوپ الکترونی پویشی و کاربرد آن در مطالعه ساختار پلیمرها

Scanning Electron Microscope and it's Application in Polymer Structural Studies

پژوهن شکرالهی

مرکز تحقیقات پلیمر ایران

دریافت: ۷۵/۶/۲۶، پذیرش: ۷۵/۹/۲۸

چکیده

امروزه، پلیمرها و پلاستیکها در ساخت لوازم خانگی، بوشاک، منسوجات، اتومبیل و صنایع هوا-فضا کاربرد روزافزونی یافته‌اند. بنابراین، محققان و متخصصان علم مواد در بیان آنند که از روشها و فنون لازم برای درک ارتباط بین خواص و ساختار پلیمرها آگاهی هرچه بیشتری پیدا کنند.

هدف این مقاله فراهم آوردن زمینه لازم برای شناخت عملکرد و کاربردهای میکروسکوپ الکترونی پویشی در زمینه‌های مختلف است. بدین منظور ابتدا اصول کار دستگاه بحث می‌شود و سپس کاربردهای آن در مطالعه امولسیونها و لاتکسها، رزنهای، کوپلیمرها، آلیاژها، سطوح شکست، کامبوزیتها، زیست‌پلیمرها، قطعات قالبگیری و روزنرانده و آثار فرایند بر ساختار پلیمرها مورد بررسی قرار می‌گیرد.

واژه‌های کلیدی: میکروسکوپ الکترونی پویشی، عدسی الکترومناظلیسی، سطح شکست، ساختار، آلیاژ پلیمری

Key Words: scanning electron microscope, electromagnetic lens, fracture surface, structure, polymer blend

در این معادله، α نیمساز زاویه‌ای است که نور با شیء می‌سازد،

λ طول موج نور بکار رفته و n ضریب شکست محیطی است که شیء در آن قرار دارد.

در میکروسکوبهای نوری با افزایش α و گاهی n ، R را کاهش می‌دهند و نقاط نزدیک به هم را قابل تشخیص می‌سازند. معلوم است که حداقل قدرت تفکیک برابر با نصف طول موج خواهد بود. بنابراین، تنها راه افزایش قدرت تفکیک استفاده از نوری با طول موج کوتاهتر است.

پس از آنکه معلوم شد ذرات متحرک می‌توانند خواص ذره‌ای - موجی نشان دهند [۱] این خاصیت در ساخت میکروسکوبهای الکترونی مورد استفاده قرار گرفت. بدینهی است طول موج یک پرتو الکترونی طبق معادله ۲ بدست می‌آید:

مقدمه
از آنجاکه قدرت تفکیک چشم انسان در حد تشخیص اجسام دارای قطر $1 / 10$ mm است، تمام اشیای کوچک‌تر از آن برای انسانها هماندازه به نظر می‌رسند. این اثر به پدیده پراش نور در چشم مربوط است. در واقع تصویر هر شیء، به دلیل پدیده پراش، روی شبکه چشم یک نقطه کاملاً مشخص نیست، بلکه ناجیه پراکنده‌ای است که صفحه ایری (air) disc نامیده می‌شود. بنابراین، اگر در زمان مشاهده دو ذره فاصله مراکز صفحه‌های ایری مربوط به آنها کمتر از شعاع هریک از آنها باشد، مشاهده کننده تنها یک پراش نور را خواهد دید. شعاع صفحه ایری (R) از معادله زیر محاسبه می‌شود:

$$R = \frac{1/22\lambda}{2n \sin \alpha} \quad (1)$$

$$\lambda = \frac{\hbar}{mv} = \frac{12/3}{\sqrt{V}} \quad (2)$$

که در آن V سرعت الکترون، m جرم الکترون، λ ثابت پلانک و V ولتاژ شتاب دهنده است. بنابراین، با تغییر ولتاژ شتاب دهنده طول موج قابل تفسیر است [۲].

بحث

میکروسکوپ الکترونی

در هر میکروسکوپ الکترونی اجزای اصلی عبارتند از: مجموعه مولد الکترون، ستون مسیر الکترونها و محفظه نمونه‌ها و آشکارساز.

مجموعه مولد الکترون شامل مولد پرتو و ابزار لازم برای جهت‌دهی به آن است. مولد الکترون از یک رشته (فیلامان)، حفاظ و آند تشکیل شده است. رشته کاتدی است که به طریق گرمایونی (thermionic) الکترون نشر می‌کند. معمولاً، قطعه‌ای از تنگستن خالص که 7 mm است و می‌تواند تا حد سفید شدن به طریق الکتریکی گرم شود بکار گرفته می‌شود. برای بدست آوردن تصاویر روشنتر می‌توان به جای تنگستن از لانتان همگزابورید (LaB₆) استفاده کرد [۲، ۳].

حافظه، استوانه شکاف‌داری است که شاعع شکاف آن 1 mm بوده و دقیقاً مقابل قله رشته قرار می‌گیرد. بین حفاظ و رشته اختلاف پتانسیل کوچکی برقرار است.

آن صفحه شکاف‌داری است که نسبت به کاتد بار مثبت زیادی دارد و به صورت هم محور با رشته قرار می‌گیرد. الکترونهای آزاد شده فضای بین کاتد و آند را به کمک اختلاف پتانسیل موجود طی کرده و در محيط خلاء ستون با سرعت ثابت حرکت می‌کنند. اغلب میکروسکوپهای متداول از نوع خودتنظیمی (self-adjusting) هستند. در چنین آرایشی شکاف حفاظ مانند یک عدسی متراکم کننده قوی عمل می‌کند. در همه مولد‌ها، افزایش جریان الکتریکی گرم کننده رشته باعث تحریب سریع جریان پرتو می‌شود. آرایش خود خود تنظیمی در مولد دارای این مشخصه مطلوب است که شکاف حفاظ، شدت پرتو عبوری را در حد عملی مورد نظر حفظ می‌کند. در این حالت، عامل کنترل کننده جریان الکترونهای، یعنی دمای رشته و ولتاژ جهت‌دهنده طوری در تعادلند که تغییرات جزئی هریک بطور خودکار بواسیله دیگری جبران می‌شود. در این شرایط، مولد اشباع بوده و هر نوع افزایش دمای رشته تنها عمر آن را کاهش می‌دهد.

ستون مسیر الکترونها شامل مولد الکترون، عدسی‌های الکترومغناطیسی، آند، سیم پیچهای روشن پرتو و محفظه نمونه‌های.

عدسی متراکم کننده

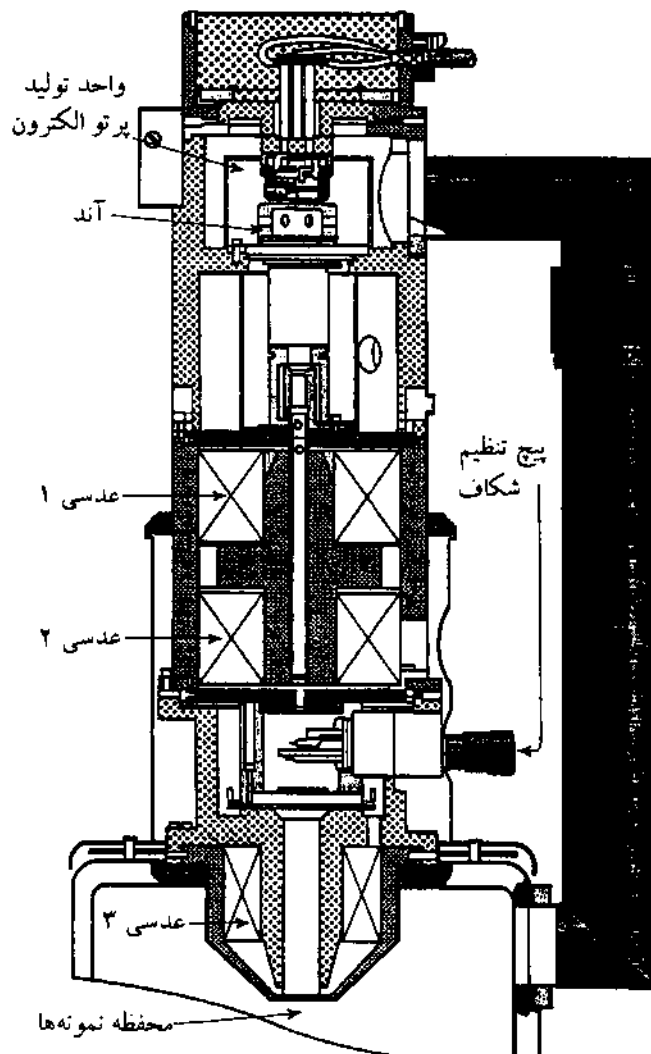
همترین عمل عدسی متراکم کننده (condensor lens) هدایت تابش به طرف نمونه و جلوگیری از پراکنده شدن آن است. این عدسی نسبتاً ضعیف بوده و فاصله کانونی آن چند سانتی‌متر است. عدسی بین نمونه و منبع روش کننده قرار می‌گیرد و تصویری از تابش را روی نمونه می‌اندازد. اگر تنها یک عدسی بکار رود، ناحیه‌ای در حدود 30 mm روی نمونه در معرض تابش را بگیرد، وسعت کم این ناحیه باعث نور تخریب ناخواسته در اطراف آن می‌شود. بنابراین، با استفاده از یک عدسی نسبتاً قوی قطر تابش را به $1\text{ to }2\text{ mm}$ کاهش داده و به کمک یک عدسی ضعیفتر، تصویری از آن را روی نمونه می‌اندازند تا اثر تخریبی تابش روی آن نواحی از نمونه که هنوز در معرض پرتو قرار نگرفته است به حداقل برسد. دو مین عدسی متراکم کننده دارای شکافی است که شدت تابش را به منظور کاهش نور تخریب نمونه و شدت تابش‌های ایکس ناشی از برخورد پرتو با نمونه را کم می‌کند [۲].

عدسی شیئی

عدسی شیئی حساس‌ترین جزء میکروسکوپ است و در ساخت آن باید دقت فراوان مبذول داشت. برای بدست آوردن بزرگنمایی زیاد در فاصله تصویری از پیش تعیین شده، فاصله ثابت بین عدسی‌های شیئی و تصویرده (projector lens)، نمونه باید نزدیک به سطح کانونی عدسی

در این معادله M بزرگنمایی، de قدرت تفکیک چشم غیر مسلح (بر حسب mm) و d قدرت تفکیک دستگاه (بر حسب mm) است [۲، ۳]. قدرت تفکیک دستگاه به ولتاژ شتاب دهنده الکترونها و ساختار عدسیهای الکترومناگاتیویستگی داشته و برای میکروسکوپ الکترون پویشی با ولتاژ شتاب دهنده 40 kV در حدود 5 nm است [۵].

مشاهده و ثبت تصویرهای دار میکروسکوپ الکترونی علامتها برای که به وسیله میکروسکوپ الکترونی دریافت می شود باید سرانجام به علامتها قابل مشاهده تبدیل شود. یکی از روش‌های متداول استفاده از سولفیدهای حاوی مقادیر جزئی فلز است. برخورد الکترونها به این صفحات تولید نور با طول موج مرئی می‌کند. مخلوط زرد رنگ سولفیدهای روی و کادمیم، که مقدار کمی از ماده‌ای فعال کننده مثل نقره یا مس به آن اضافه شده است، برای استفاده در میکروسکوپ الکترونی



شکل ۱- سون میکروسکوپ الکترونی و چگونگی قرارگرفتن اجزای آن در کتاب یکدیگر [۲۸].

شیوه قرار گیرد. برای این منظور عدسی طوری طراحی می شود که نمونه دقیقاً زیر آن واقع شود. به علاوه، فاصله کانونی (F) عدسی باید تا حد امکان کوچک باشد ($F \leq 1.5 \text{ mm}$) تا انحرافات کروی و رنگی آن به حداقل برسد [۲].

عدسی تصویرده

ساختمان این عدسی مشابه عدسی شیوه است، با این تفاوت که محلی برای نمونه در اطراف آن پیش‌بینی نمی شود. دامنه تغییرات فاصله کانونی در این عدسی باید گسترده بوده و عمق میدان آن در بزرگنمایی‌های زیاد باید بزرگ باشد. در شکل ۱ سون میکروسکوپ الکترونی نشان داده شده است.

انحرافات

کار با عدسیهای میکروسکوپ الکترونی همانند عدسیهای مشکلاتی دارد. دو گروه عمدی از مشکلات کار با این عدسیها از انحرافات کروی و رنگی در آنها ناشی می شود. به علاوه، نقصهای ناشی از بی تقارنی عدسیهای شیوه و اختشاشات میدانهای الکتریکی و مغناطیسی نیز مشاهده می شود [۲].

عمق میدان و بزرگنمایی

وقتی عدسی روی یک سطح مشخص به دقت کانونی می شود، چشم بیننده فضاهای کمی بالاتر یا پایینتر از آن سطح را نیز به وضوح می بیند. چنین فضایی عمق میدان عدسی نامیده می شود و با تنظیم جریانی که از عدسیهای متراکم کننده و شیوه می گذرد تا حدودی تغییر می کند. در هر میکروسکوپ بزرگنمایی با استفاده از معادله زیر محاسبه می شود:

$$M_t = M_0 M_p \quad (3)$$

در این معادله M_t بزرگنمایی کل، M_p بزرگنمایی عدسی تصویرده و M_0 بزرگنمایی عدسی شیوه است. اگر بعد از عدسی متراکم کننده سه مرحله بزرگنمایی وجود داشته باشد، معادله به شکل زیر در می آید:

$$M_t = M_0 M_1 M_p \quad (4)$$

افزایش بزرگنمایی بدون زیاد شدن قدرت تفکیک، موثر نیست. حداقل بزرگنمایی مفید با توجه به قدرت تفکیک دستگاه از معادله ۵ بدست می آید:

$$M = \frac{de}{d} \quad (5)$$

نفوذ پرتو در نمونه است) ارتباط دارد. برای بررسی حجم برهم کش، نمونه ای از قبیل متالکریبلات در معرض تابش الکترونهای با انرژی 20 keV قرار می‌گیرد. سپس، یک مقطع عرضی از ناحیه تابش دیده تهیه و برای میکروسکوپ الکترونی آماده می‌شود. تصاویر میکروسکوپ الکترونی این مقطع حفره‌هایی با ساختمان گلابی شکل و عمق تا $10 \mu\text{m}$ را نشان می‌دهد که همان حجم برهم کش است. بررسی حجم برهم کش برای چند نمونه در شرایط مختلف نشان می‌دهد که این حجم با کاهش عدد اتمی و افزایش ولتاژ شتاب دهنده زیاد می‌شود. اندازه و شکل حجم برهم کش به انرژی اولیه پرتو، شدت تابش، چگالی و عدد اتمی ماده بستگی دارد [۶]. عمق و پهنا ناحیه کمی بزرگتر از قطر پرتو فرودی است [۳، ۵] استفاده از آشکارسازهای مختلف یا ترکیبی از روشهای روشها در بدست آوردن اطلاعات مربوط به توپوگرافی و ساختار نمونه اهمیت بسزا دارد [۷].

نشر الکترونهای ثانویه

در طیف تعداد الکترونهای منتشر شده از یک نمونه بر حسب انرژی دو ماکسیمم مشاهده می‌شود. یکی در انرژی زیاد که به الکترونهای بازپرداز اینده مرتبط است و دیگری در انرژی کم که از الکترونهای ثانویه ناشی می‌شود.

الکترونهای با انرژی کمتر از 50 eV که از چند نانومتر اولیه سطح نمونه منتشر می‌شوند، الکترونهای ثانویه‌اند. ضریب نشر ثانویه حاصل تقسیم تعداد الکترونهای ثانویه نشیافته بر تعداد الکترونهای فرودی بوده و مستقل از عدد اتمی نمونه است. ارتباط بین ضریب نشر ثانویه و انرژی پرتو اولیه بسیار مهم است. این ضریب در انرژی 1 keV برابر ۱ است و پس از آن تا انرژی 3 keV افزایش می‌یابد و بعد از گذشتن از یک ماکسیمم در انرژی 3 keV دوباره به ۱ می‌رسد. در این ناحیه نمونه در برابر تجمع بار الکتریکی پایدار است و به پوشش رسانا نیاز ندارد [۳].

الکترونهای ثانویه از برخورد پرتو الکترونی اولیه و الکترونهای بازپرداز اینده به نمونه تولید می‌شوند. انرژی این الکترونهای کم و در حدود 50 eV است. برای آشکارسازی این الکترونهای از یک آشکارساز جرقه‌ای که پتانسیل مثبتی در حدود 200 V دارد، استفاده می‌شود [۸]. بنابراین با توجه به انرژی کم الکترونهای ثانویه، تنها آن گروه از الکترونهای که در نزدیکی سطح تولید می‌شوند می‌توانند از نمونه خارج شوند و خود را به آشکارساز برسانند. الکترونهای ثانویه‌ای که در اثر برخورد پرتو الکترونی اولیه به نمونه تولید می‌شوند تصاویری با قدرت تفکیک بسیار خوب تولید می‌کنند [۹].

نشر ثانویه کاملاً به توپوگرافی سطح مربوط است. اگر پرتو به یک ناحیه بالبه تیز یا برجستگی برخورد کند، برهم کش در نزدیکی

بسیار مفید است. مخلوط یاد شده همراه با چسب مناسب روی سطح پوشش داده می‌شود. قدرت تفکیک این صفحه به اندازه ذرات بخش شده روی آن بستگی دارد. در میکروسکوپ الکترونی پوششی، تصویر به روی متفاوت تشکیل می‌شود. در این دستگاه پس از تبدیل علامتهای ناشی از برخورد پرتو الکترون به سطح نمونه به علامتهای الکتریکی، تصویر روی لامپ پرتو کاتدی تشکیل می‌شود. در این دستگاه، عدسیها پرتو را کوچک می‌کنند و نقطه پرتو حاصل سطح موردنطالعه را مشابه دوربین تلویزیون روشن می‌کنند. آشکارسازهای مناسب در نزدیکی سطح قرار می‌گیرند و بطور پیوسته و همزمان با پرتو الکترونی، الکترونهای ثانویه، بازپرداز، همزمان با پرتو ایکس یا نور مرئی حاصل از نمونه را دریافت و آشکار می‌کنند [۲].

سیستم خلاء

در ستون میکروسکوپ الکترونی بنا به دلایل زیر ایجاد خلاء ضروری است:

- اجتناب از برخورد الکترونها و مولکولهای گازی که سرعت و انرژی

الکترونها را کم می‌کنند،

- حفظ ولتاژ بین آند و کاتد و ممانعت از تخلیه الکتریکی در گاز،

- ممانعت از کاهش عمر رشته در محیط اکسیژن.

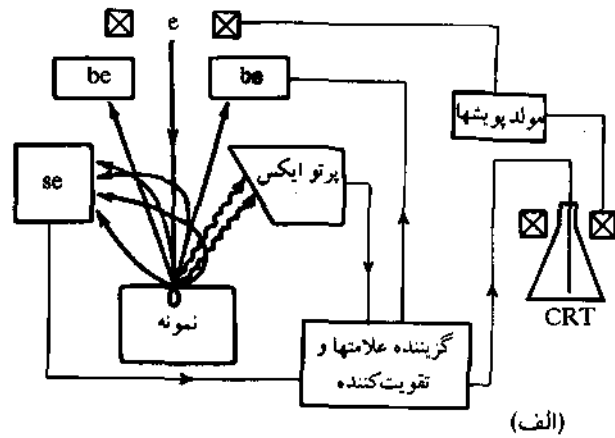
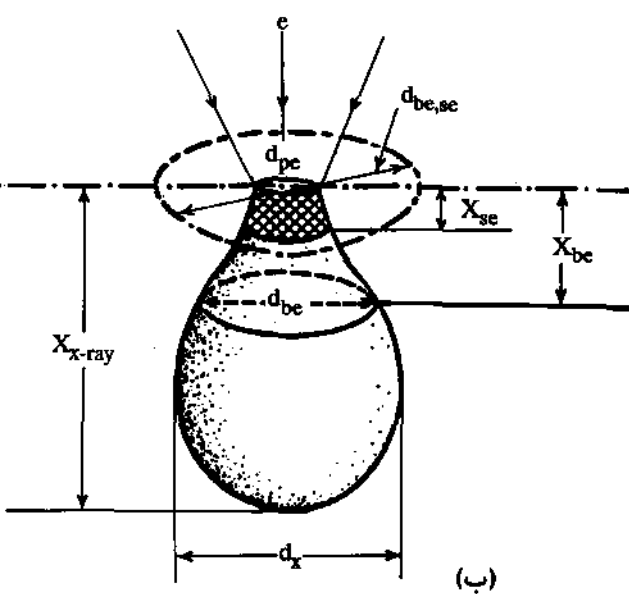
برای ایجاد خلاء مناسب (در حدود 10^{-5} torr) از یک پمپ چرخشی و یک پمپ توربو مولکولی استفاده می‌شود. برای کار در ولتاژهای شتاب دهنده خیلی زیاد باید خلاء در حدود 10^{-7} torr باشد. در چنین شرایطی پمپ یونی نیز همراه با دو پمپ فوق بکار می‌رود.

محفظه نمونه‌ها

این محفظه قسمتی از ستون میکروسکوپ است و در خلاء قرار دارد. محفظه به وسیله یک شیر با ستون ارتباط پیدا می‌کند تا در موقع شکستن خلاء (که مثلاً برای تعریض نمونه‌ها ضروری است) امکان حفظ خلاء در سایر نواحی ستون وجود داشته باشد. صفحه نمونه‌ها در محفظه قرار می‌گیرد و می‌تواند تا 360° چرخش داشته باشد. روی صفحه امکان قراردادن همزمان چند نمونه وجود دارد. نمونه‌ها را بوسیله تسهیلات مکانیکی موجود می‌توان در امتداد محورهای x ، y و z حرکت داد یا 90° چرخاند. نمونه‌ها بوسیله چسب دوری و روی پایه آلومینیمی ثابت می‌شوند.

برهم کشها پرتو و نمونه

در برخورد پرتو الکترون با نمونه، برهم کشها مختلف بین پرتو الکترون و نمونه اتفاق می‌افتد و نوع تصویری که تشکیل و ارائه می‌شود به نوع برهم کش بستگی دارد. قدرت تفکیک دستگاه با حجم برهم کش (ناحیه‌ای که پرتو و نمونه اثر مقابل دارند و معرف میزان



شکل ۲- (الف) مسیر الکtron در دستگاه SEM که دارای آشکارسازهای الکترون ثانویه، الکترون بازپراکنده و پرتو ایکس است، (ب) ناحیه برهم کش پرتوالکترون و نمونه [۳].

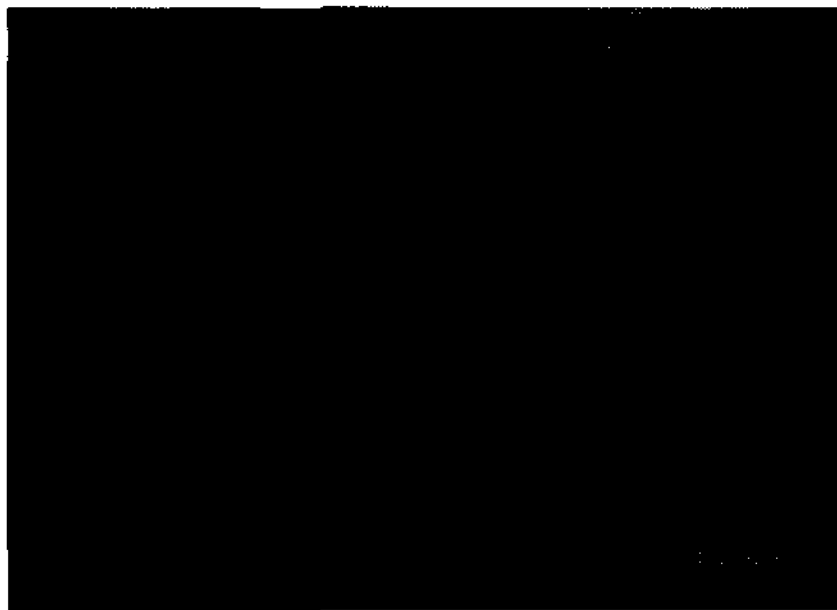
نمونه جامد است، تولید می شوند. کارایی این پدیده زیاد نبوده و از هر 10^4 تا 10^5 الکترون تنها یکی از آنها تابش ایکس مشخصه قابل آشکارسازی تولید می کند. با کاهش عدد اتمی عناصر موجود در جامد، کارایی حتی کمتر از این می شود. به همین دلیل، پرتوهای ایکس برای تصویرگیری ساده مناسب نبوده و تنها برای بدست آوردن اطلاعات تجزیه‌ای بکار می روند. اگر الکترونها انرژی کافی نداشته باشند، توانایی تولید پرتو ایکس مشخصه را ندارند، بنابراین پرتوهای ایکس از تمام حجم برهم کش ناشی نمی شوند، بلکه تنها از ناحیه‌ای می آیند که الکترون انرژی زیادی از دست نداده است. بزرگی این ناحیه به انرژی پرتو، انرژی تابش ایکس و ترکیب ماده بستگی دارد. در برخی از میکروسکوپهای پویشی امکان تجزیه پرتو ایکس وجود دارد.

سیستمهای مورد استفاده در تجزیه پرتو ایکس می توانند براساس تفکیک انرژی یا تفکیک طول موج عمل کنند. سیستمهای تجزیه پرتو ایکس از نوع پاشیدگی انرژی x-ray (energy dispersive x-ray analysis، EDXA) سریعتر بوده و قادرند تمام پرتوهای ایکس با انرژیهای مختلف را همزمان دریافت و آشکار کنند [۸]. هیچ یک از دو روش را نمی توان در مورد عناصر دارای عدد اتمی کمتر از ۱۰ بکار برد. در سیستم تجزیه پرتو ایکس از نوع پاشیدگی طول موج (wavelength dispersive x-ray analysis، WDXA) برای تجزیه هر عنصر باید دستگاه را روی طول موج آن عنصر تنظیم کرد. بنابراین، همه عناصر موجود را نمی توان بطور همزمان شناسایی کرد. با این حال، صحت این روش در تجزیه کمی بیشتر است، زیرا احتمال تداخل

سطح بیشتر می شود، بطوری که الکترونها ثانویه بیشتری تولید می گردد. اگر پرتو به فرورفتگی یا حفره بخورد کند، حجم برهم کش و در نتیجه تعداد الکترونها ثانویه کاوش می یابد [۳، ۱۰].

الکترونها بازپراکنده
الکترونها بازپراکنده (back scattered)، که در مقایسه با الکترونها ثانویه، انرژی بسیار بیشتری دارند، تنها به میزان ناچیزی تحت تأثیر میدان الکترونیکی جاذب الکترونها ثانویه قرار می گیرند. با یک ولتاژ بیاس منفی کوچک الکترونها ثانویه دفع و الکترونها بازپراکنده جذب آشکارساز تکثیر کننده فوتونی می شوند. بهره این آشکارساز با افزایش عدد اتمی عنصر بازپراکنده ساز افزایش می یابد. الکترونها بازپراکنده در ناحیه‌ای با وسعت d_{be} و عمق X_{be} تولید می شوند (شکل ۲). اگر از آشکارساز حالت جامد (solid state detector) استفاده شود [۱۱]، آشکارساز به دو نیمه تقسیم می شود و قادر خواهد بود در شرایط استفاده همزمان از این دو نیمه و افزودن علامتهای آنها به یکدیگر تبیان عدد اتمی یا توبوگرافی ارائه کند. تفاضل علامتهای دو نیمه تبیان توبوگرافی را به تصویر می کشاند. شکلهای ۲ و ۴ نمونه‌ای از عملکرد این آشکارساز را به دو شیوه یادشده نشان می دهد [۳، ۱۰].

نشر پرتو ایکس
وقتی پرتو الکترونی پر انرژی یک نمونه جامد را بمباران می کند، پرتوهای ایکس، که انرژی آنها معادل انرژی مشخصه عناصر موجود در



شکل ۳- تصویر BEI آلیاز ناسازگار پلی استیرن و پلی (۲، ۶- دی متیل فنیل اکسید) پس از لکه گذاری با برم در میانول، فاز دارای برم روشن به نظر می رسد [۲].

جزیان ایجاد می کند. جزیان پس از تقویت و تبدیل به پالس ولتاژ به تجزیه گر بلندی پالس می رود. در این قسمت پالسهای ورودی با توجه به دامنه های مربوط ذخیره می شوند. در هر دو روش، پرتو الکترونی می تواند روی یک نقطه ساکن

اطلاعات مربوط به عناصر مختلف کاهش می یابد [۱۲]. در روش EDXA، پرتوهای ایکس وارد آشکارساز حالت جامد شده و متناسب با انرژی خود تعدادی زوج الکترون - حفره ایجاد می کنند. این جزیان با اعمال ولتاژ بایاس به حرکت در آمده و پالس



(ب)



(الف)

شکل ۴- تصاویر ناحیه ای از نمونه آلیاز PPO-PBT: (الف) BEI و (ب) SEI (فاز PPO با برم در میانول رنگ آمیزی شده است و روشنتر به نظر می رسد [۲].

بدون اختلاف انرژی پراکنده می‌شوند. به این پدیده پراکنده‌گی کشسان می‌گویند. با افزایش عدد اتمی عنصر مورد نظر و ضخامت نمونه مورد آزمایش تعداد الکترونها یادشده افزایش می‌یابد. بنابراین، شدت پراکنده‌گی با زاویه مشخص متناسب با ضخامت نمونه است. اگر یک متوقف کننده فیزیکی که شکافی با زاویه کوچک دارد در پشت نمونه قرار گیرد، الکترونها که زاویه پراکنده‌گی آنها بزرگ است از پرتو حذف و شدت تصویر در نواحی مربوط به ضخامت جرمی زیاد کمتر می‌شود. این واسطگی شدت به ضخامت جرمی تباین دامنه نامیده می‌شود. با افزایش یا کاهش اندازه زاویه شکاف می‌توان این تباین را کم یا زیاد کرد. در میکروسکوپ الکترونی این شکاف در سطح کانونی عقبی عدسی شبیه قرار دارد و شکاف شبیه نامیده می‌شود. زاویه پراکنده‌گی الکترونها از یک نقطه مشخص نمونه به انرژی پرتو فرودی و بنابراین، ولتاژ شتاب دهنده بستگی دارد. افزایش انرژی الکترون، زاویه پراکنده‌گی را کم می‌کند. بنابراین، در زاویه شکاف مشخص، کاهش ولتاژ به افزایش تعداد الکترونها که توسط شکاف متوقف می‌شوند و در نتیجه زیاد شدن تباین منجر می‌شود [۲].

منع دیگر تباین در میکروسکوپ الکترونی فاز است. تباین فازی مستقل از شکاف عدسی شبیه بوده و تنها به میزان ناچیزی با ولتاژ شتاب دهنده و عدد اتمی اتمهای پراکنده ساز متناسب است. بنابراین، مشاهده جزئیات مواد حاوی عناصر سبک را که با تباین دامنه قابل تشخیص نیستند امکان‌پذیر می‌سازد.

برای بدست آوردن بهترین تباین در کار با میکروسکوپ الکترونی باید ولتاژ شتاب دهنده و شکاف شبیه را به دقت بهینه کرد. برای این منظور ضخامت نمونه، عمق میدان عدسی در بزرگنمایی مورد آزمایش و بزرگنمایی مورد نیاز عواملی هستند که باید مورد توجه قرار گیرند [۱۵ و ۲۰] .

نمونه‌سازی
نمونه‌سازی برای میکروسکوپ الکترونی باید با توجه به هدف مطالعه انجام شود. اگر بررسی سطح نمونه مورد نظر است، نیاز به انجام مراحل برش یا شکست وجود ندارد. ولی، در اغلب موارد مطالعه پراکنده‌گی فازها یا پرکننده در ماتریس هدف است. در چنین مواردی دستیابی به یک سطح بکر و دست‌انخورده از نمونه ضروری است. بدین منظور، معمولاً نمونه رادر دمایی پایینتر از دمای انتقال شبیه‌ای آن می‌شکند و سطح شکست را بررسی می‌کنند.

اگر نمونه رسانای الکتریسیته نباشد، لایه نازکی از یک فلز روی سطح آن کشیده می‌شود تا ضمن برخورد الکترونها به سطح نمونه بار ساکن روی آن جمع نشود. پوشش دهی با ضخامت حدود ۰.۱۰۰ میکرومتری از روش‌های تسبیح در خلاء یا تراشه‌سازی انجام می‌شود.

باشد یا روی ناحیه‌ای کوچک یا یک خط حرکت کند. اگر ریز تجزیه با پوشش پرتو روی ناحیه‌ای از نمونه همراه باشد، می‌توان با استفاده از علامتهای آشکارساز پرتو ایکس، تمیز را روی لامپ پرتو کاتدی نیز بدست آورد. چون پرتوهای ناشی از عمق نمونه نیز به آشکارساز می‌رسند، بررسی ترکیب سطح نمونه در مورد نمونه‌هایی که از سطح به عمق دارای گرادیان غلظت‌اند با این روش امکان‌پذیر نیست. برای آنکه خطاهای ناشی از جذب و فلوئورسان در طول مسیر محل تولید تا خروج پرتو ایکس از سطح نمونه به حداقل برسد، لازم است که فیلم نازک و مسطوح از نمونه مورد آزمایش قرار گیرد. تجزیه کیفی بسرعت و سهولت انجام‌پذیر است، اما برای تجزیه کمی انجام این

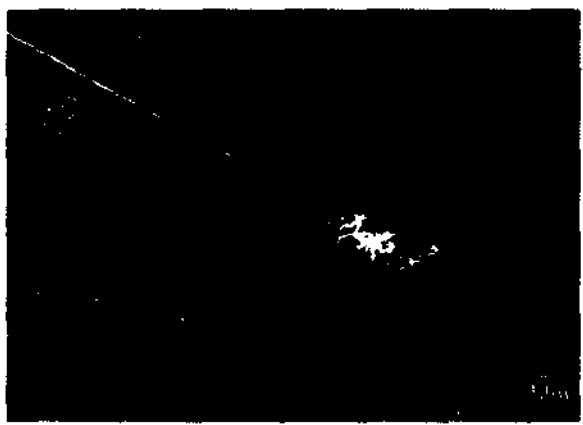
مراحل ضرورت دارد:

- جمع آوری طیف،
 - شناسایی عناصر موجود،
 - کم کردن تابش زمینه از طیف،
 - محاسبه غلظتها نسبی،
 - محاسبه فلوئورسان پرتو ایکس،
 - محاسبه کارایی آشکارساز و
 - محاسبه تصحیحات مربوط به جذب و خود فلوئورسانی.
- برای پلیمرهایی که در اثر تابش پرتو ایکس دچار کاهش جرم می‌شوند تصحیحات مربوط به کاهش جرم با زمان نیز باید اعمال شود [۱۴، ۱۲، ۳].

اپتیک میکروسکوپ الکترونی پوششی

معمولًا ولتاژ عمل دستگاه بین چند ولت تا چند کیلو ولت است، معمولاً به عنوان مولد الکtron از رشته تنگستن یا لانتان هگزابورید استفاده می‌شود. عدسی شبیه پرتو الکترونی را روی سطح نمونه کانونی می‌کند. تصویر با جمع آوری نوع مشخصی از علامتها به عنوان تابعی از محل پرتو روی نمونه تشکیل می‌شود. پرتو الکترونی بطور مداوم ناحیه‌ای از سطح نمونه را روشن می‌کند. پوشش بوسیله کوبهای روش الکترومناطقی کنترل می‌شود. برای تشکیل تصویر، علامت ناشی از مکان پرتو الکترونی آشکارسازی و تقویت شده و برای مدوله کردن (modulation) شدت پرتو الکترون ثانویه و بنابراین شدت تصویر در لامپ پرتو کاتدی بکار می‌رود. در این لامپ، کوبهای منحرف کننده بوسیله همان مولдин پوشش که پرتو اولیه را تولید کرده‌اند، کنترل می‌شود. بدین ترتیب موقعیت مکانی نمونه و تصویر همزمان خواهد بود [۲].

تباین دامنه
وقتی پرتو الکترون به هسته‌های اتم برخورد می‌کند به دلیل اختلاف جرم زیاد بین الکترون و هسته، الکترونها با زاویه‌های نسبتاً بزرگ و



(الف)

(ب)

شکل ۵- سطح پلی استال قالبگیری شده (الف): صاف است، (ب) حکاکی در زمان کوتاه سوراخهایی ایجاد می‌کند که عمق دارند و در جهت جریان پلیمر جهت یافته‌اند [۶].

زیادی با فرایند تولید کنترل می‌شود، بنابراین میکروسکوپی رزینها و پلاستیکهایی که با روش‌هایی نظیر وزن رانی، تزریق و قالبگیری فشاری تولید می‌شوند، می‌توان اطلاعات مفیدی درباره ارتباط خواص با ساختار آنها ارائه دهد.

در پلیمرهای تک‌فاز، تنها یک فاز قابل تشخض است. بدین ترتیب، هوموپلیمرها و کوپلیمرهای اتفاقی پلیمرهای تک‌فاز محسوب می‌شوند. آلیاژ پلیمرهایی که به خوبی با یکدیگر محظوظ می‌شوند نیز می‌توانند تک‌فاز باشد. این پلیمرها به دلیل تفاوت خواص ویژه نظری جریان‌پذیری و دمای ذوب خواص متعدد دارند. PE، IPP، PA و POM گرمایزمهای تک‌فاز بلوری‌اند. PS، PMMA و PVAC پلیمرهای تک‌فاز بی‌شکل و PS-PPO آلیاژی تک‌فاز است. پلی‌استرهای سیرنشده و فنول فرمالدهید پلیمرهای گرماسخت بی‌شکل و تک‌فازند.

بررسی میکروسکوب الکترونی نمونه‌هایی از PE، POM و PP نشان می‌دهد که این مواد عملکردی مشابه داشته و ساختار چندلایه مغزه - پوسته دارند. مشخص شده است که در نزدیکی سطح قطعه حفره‌هایی وجود دارد که کاملاً جهت یافته‌اند و در مغزه جهت یافتنگی آنها بسیار کمتر است. مطالعات انجام شده روی قطعات قالبگیری شده POM نشان می‌دهد که افزایش دمای بدنه، لایه پوسته خارجی را کوچک کرده و مغزه را بزرگ می‌کند. بدین ترتیب، مقاومت کششی نمونه در جهت تزریق کاهش می‌یابد. پلیمرهایی از قبیل پلی‌استال‌ها ساختار چندلایه‌ای دارند. در پوسته این نوع پلیمرها جهت یافتنگی مشهود است و بدان معناست که زنجیرهای مولکولی در جهت تزریق آرایش یافته‌اند. در ناحیه مرکزی قطعه، هسته‌ای وجود دارد که دارای گویجه بوده و آرایش گویجه‌ها در آن تصادفی است. گویجه‌های خیلی کوچک را می‌توان با میکروسکوب الکترونی مشاهده کرد. البته،

متداولترین پوششها طلا، آلیاژ طلا - پالادیم، آلمینیم و کربن است. برای تصویرگیری با الکترون‌های ثانویه پوشش Au-Pd مناسب است، زیرا بهره الکترون‌های ثانویه را زیاد می‌کند. از آنجاکه تصویر الکترون‌های بازپراکنده به تفاوت بهره الکترون‌های بازپراکنده در نقاط مختلف نمونه مربوط است، پوشش دهی با کربن برای آن مناسب است. در تجزیه پرتو ایکس معمولاً پوشش کربن بکار می‌رود، زیرا خطوط پرتو ایکس سایر پوششها با خطوط عناصر موجود در نمونه تداخل ایجاد می‌کند [۱۶، ۱۵].

از آنجاکه تصویر الکترون‌های ثانویه جزئیات سطح نمونه را نشان می‌دهد، هر نوع فرایندی که تمایز جزئیات را در سطح نمونه افزایش دهد، تباين را زیاد می‌کند. مثلاً، حکاکی بوسیله حلal گزینش‌گر (که مثلاً یکی از اجزای آلیاژ را بهتر از دیگری حل می‌کند) یا پلاسمای یونی می‌تواند تباين را افزایش دهد. برای بررسی ریز‌ساختار درونی نمونه‌ها، تهیه سطح شکست روش مناسبی است، اما خط شکست در امتداد نقاط ضعف خودچسبی (self-adhesion) ادامه می‌یابد.

در مورد تصویرگیری با استفاده از الکترون‌های بازپراکنده (back scattered electrons imaging، BEI) و طیف‌سنگی انرژی پرتو ایکس (X-ray energy spectroscopy، XES)، لازم است نمونه ابتدا سطح شده تا پس از آزمایش مشخص شود که تباين حاصل به ساختار مربوط است نه توپوگرافی سطح. بنابراین، نمونه را برش می‌دهند و کاملاً صیقلی می‌کنند. استفاده از مواد لکه‌زای دارای اتم سنگین تباين را در این دو روش تصویرگیری افزایش می‌دهد.

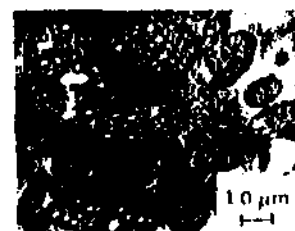
کاربردها
رزینها و پلیمرهای مهندسی: از آنجاکه ریز‌ساختار این رزینها تا حدود

فازه است، افزایش ضربه پذیری مشاهده نمی شود.

عواملی که توزیع و اندازه ذرات فاز پراکنده را در سیستم های چند فازی معین می کنند عبارتند از: مقدار الاستومر، سازگاری فازها، نوع فرایند و گرانزوی. اگر در سیستم فازی کسر حجمی کوچکتر متعلق به الاستومر باشد، در این حالت به احتمال قوی فاز پراکنده الاستومر است. با افزایش کسر حجمی، ذرات فاز پراکنده بزرگتر شده و این احتمال بوجود می آید که ماتریس در ذرات فاز پراکنده محبوس شود (شکل ۶). وجود مجموعه های دارای فاز پراکنده و ماتریس موجود در آن ضربه پذیری را افزایش می دهد. شکل فاز پراکنده معمولاً با تغییر ترکیب، شرایط اختلاط، گرانزوی و جهت یافتنگی پلیمر تغییر می کند. مطالعه میکروسکوپی آلیاز ۲۰ درصد استیرن-پلی اتیلن نشان می دهد که فاز پراکنده به صورت نواحی کروی ظاهر می شود. در حالی که در شرایط ۵ درصد این نواحی بزرگتر می شوند و طول آنها زیاد می شود. ذرات فاز پراکنده معمولاً در راستای جریان جهت گیری می کنند. این ذرات در نزدیکی سطح افزایش طول می بینند و در جهتی عمود بر سطح قرار می گیرند، در حالی که در نزدیکی مرکز به شکل کروی باقی می مانند. اگر ذرات از $2 \mu\text{m}$ کوچکتر باشند، روح ضربه پذیری اثری ندارند بدینه است که با تغییر ماتریس و فاز پراکنده این اندازه نیز تغییر می کند. نوع فرایند نقش مهمی در چگونگی پراکنده فازها در پلیمر های چند فازی دارد. تغییر تیوهای برشی و دما ساختار را تغییر می دهد. این تغییرات با روش های میکروسکوپی الکترونی و بویزه میکروسکوپ الکترونی عبوری (transmission electron microscopy TEM)، قابل بررسی اند [۱۶، ۱۵].

شکل شناسی فاز پراکنده در کوپلیمرها را نیز می توان از طریق میکروسکوپی الکترونی سطح شکست نمونه معین کرد [۱۸]. برای این منظور یا نمونه پس از غوطه ور شدن در نیتروژن مایع شکسته می شود و یا با روش های فیزیکی دیگر نمونه سازی انجام می گیرد. تصویر میکروسکوپ الکترونی سطح شکست کوپلیمر POM-PP در شکل ۷ مشاهده می شود. روشن است که دو فاز ناسازگار بوده و به صورت دو فاز مجزا مشخص می شوند. قطر ذرات فاز پراکنده در حد $5 \mu\text{m}$ تا $2 \mu\text{m}$ است. مسیر شکست خفره هایی دیده می شود که از خارج شدن ذرات طی شکست ناشی می شود و یانگر چسبندگی ضعیف بین دو فاز است.

شکل ذرات فاز پراکنده بوسیله جهت جریان و گرادیان دمایی کنترل می شود. ریز ساختار کوپلیمر PE-PA به بافت پوسته هسته، که در مورد PE تعریف شد، نزدیک است. جهت یافتنگی فاز پراکنده روح خواص مکانیکی سیستم مؤثر است. نواحی کروی در سیستمهایی تشکیل می شود که در صورت مایع بودن پلیمر جدایی فاز روحی ندهد. SEM این نواحی را نشان می دهد (شکل ۸ الف و ب). کج کردن



شکل ۶- شکل شناسی پلی استیرن ضربه پذیر: پلی استیرن در فاز پراکنده (لاستیک) محبوس شده است [۹].

این کار بدون استفاده از روش های نمونه سازی مناسب مشکل است. حکاکی شیمیابی، یونی یا پلاسمایی روش هایی موثر در مشاهده گوییچه اند. میزان تأثیر این روش در شکل ۵ نشان داده شده است [۱۷، ۱۶].

برخلاف پلی استالهای PE و PP در پلی بوتیلن ترفلالات و نایلون ساختار چند لایه ای مشاهده نمی شود. این دو ماده در لایه سطحی جهت یافتنگی ندارند و بلوری نیستند یا بطور جزئی بلوری اند. ولی، بر حسب شرایط قالبگیری هسته آنها بلوری است.

بی شکل بودن پوسته از سرعت سرد شدن پلیمر در سطح و دمای انتقال پایین آن ناشی می شود، نه از جریان پلیمر در فرایند شکل دهی. بنابراین، در این مواد تنها یک لایه هسته - پوسته مشاهده می شود. یکنواخت بودن ساختار در قطعات قالبگیری شده تزریقی از غیر یکنواختی این روش در مقایسه با قالبگیری فشاری و روزن رانی ناشی می شود [۱۶].

کوپلیمر شدن اتفاقی برای اصلاح خواص سیستم تک فاز و کوپلیمر شدن های پیوندی و دسته ای برای اصلاح خواص چسبندگی در حد فاصل ماتریس - فاز پراکنده بکار می روند. افزایش یک پلیمر به پلیمر دیگر می تواند باعث بهبود خواص مکانیکی شود. این پدیده در افزایش ضربه کشسانی و استحکام کششی PE در ضمن اضافه شدن PP به آن قابل مشاهده است. پلیمر های چند فازی معمولاً پلاستیکهای شیشه ای سخت یا در ماتریس گرم از مازم حاصل می شوند. سطح شکست نایلون اصلاح نشده با SEM بررسی و مشخص شده است که از نوع شکننده است. اضافه کردن فاز الاستومر، عملکرد شکست آن را اصلاح می کند [۱۷، ۱۴، ۱۳].

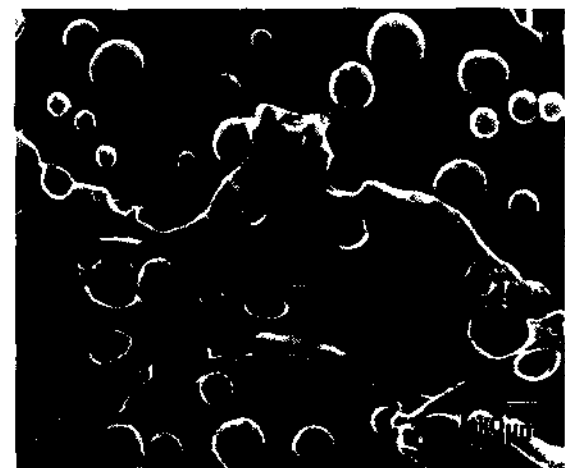
در بعضی موارد، که برای افزایش ضربه پذیری پلاستیک آلیاز آن با الاستومر تهیه می شود، مقاومت ضربه ای، که مثلاً با دستگاه آزمون استحکام ضربه ای ایزود اندازه گیری می شود، تحت تأثیر اندازه ذرات فاز پراکنده، ترکیب لاستیک و چسبندگی آن به ماتریس قرار می گیرد. در یک نوع شکل شناسی فازی که نشان دهنده سازگاری کامل بین

کاهش یابد و بررسی سریعتر انجام شود شکاف کوچکی در نمونه ایجاد می‌گردد. با وارد ساختن ضربه به کمک یک تیغه خطکش مانند، شکست مصنوعی ایجاد می‌شود.

ریز تجزیه پرتو ایکس و تصاویر BEI، اطلاعاتی در مورد ترکیب عناصر فاز پراکنده و آلوگیهایی که شکست را موجب می‌شوند در اختیار می‌گذارد. اگر یک فاز دارای عنصری باشد که فاز دیگر قادر آن است، این روش در مطالعه پلیمرهای چندفازی کاملاً مفید خواهد بود. ترکیبی از BEI و تصاویر عنصری اطلاعاتی فراهم می‌آورد که در درک ترکیب شیمیایی و توزیع عناصر در پلیمرها بسیار مفید است. مثلاً، تصویر SEI شکل ۹ سطح شکست پلیمری را نشان می‌دهد که ذرات بزرگ با اندازه $10 \mu\text{m}$ و ذرات کوچک با اندازه BEI کسری از میکرومتر فاز پراکنده آن را تشکیل می‌دهند. تصویر SEI نشان می‌دهد که ذرات بزرگ و کوچک هر دو از ماتریس پلیمری روشنتر بوده و بنابراین عدد اتمی بزرگتری دارند. نقشه‌های عنصری مشخص می‌کنند که ذرات کوچک دارای آنتیموان و ذرات درشت دارای کلرند. چون ذرات کوچک در زیر سطح قرار دارند و صور تصویر حاصل کم است. باید توجه داشت در تصویرگیری به کمک پرتو ایکس عدد اتمی ماتریس و ولتاژ شتاب دهنده عوامل تعیین کننده‌اند.

کامپوزیتها

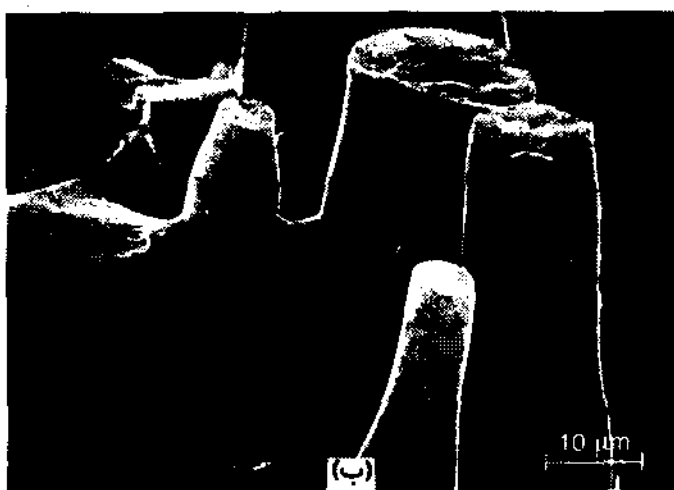
عموماً کامپوزیتها را به سختی می‌توان برشن داد و به همین دلیل ایجاد برشن و صاف کردن سطح آنها مشکل است. بنابراین، میکروسکوپی الکترونی سطح شکست، به دلیل عمق میدان زیاد، مناسبترین روش مطالعه آنهاست [۵]. نمونه‌هایی که در آزمونهای خواص فیزیکی یا ضمن کار شکسته‌اند از نظر بررسی اندازه، توزیع و چسبندگی پرکننده



شکل ۷- ذرات فاز پراکنده در کوپلیمر پلی پروپیلن - پلی اکسی متیلن [۶]

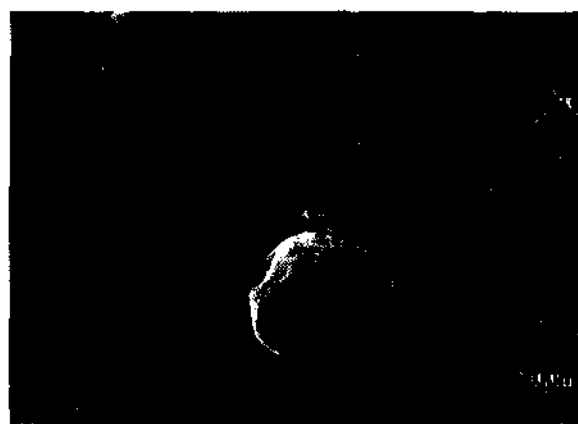
(tilting) نمونه یا تغییر زاویه تابش پرتو به نمونه نشان می‌دهد که نواحی یاد شده به واقع جهت یافته‌اند. امتداد فاز پراکنده در خارج از ماتریس یانگرچسبندگی بین این فاز و ماتریس است [۱۷، ۱۴، ۵].

یک موضوع جالب در مطالعه ریز ساختار پلیمرهای چندفازی، بررسی سطح شکست آنها به منظور تعیین علت و شیوه شکست است [۹]. در چنین حالتی سطح شکست ایجاد شده ضمن کاربرد یا طی انجام آزمون مکانیکی مورد مطالعه قرار می‌گیرد. فرایند شکست نمی‌تواند کنترل شده باشد و در این مورد زمان یک عامل بحرانی است. لوله‌های پلاستیکی مورد استفاده در انتقال آب و گاز عموماً از PVC یا پلی‌کربنات سنگین تهیه می‌شوند. در این حالت شکست محدودیتی بر کاربرد این مواد اعمال می‌کند. برای آنکه زمان مربوط به شکست طبیعی

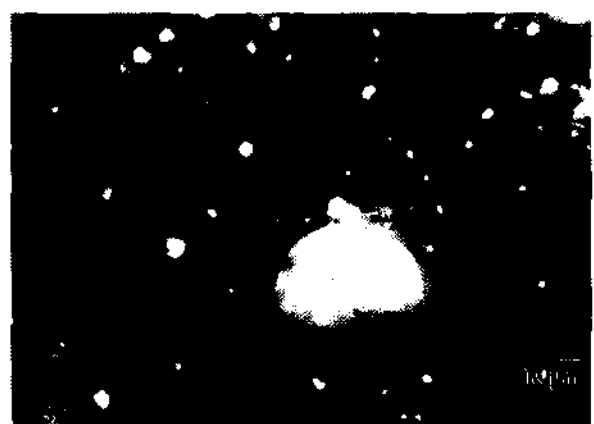


شکل ۸- سطح شکست آلیار پلی آمید ۶ با کوپلیمر وینیل استات - پلی اتیلن که در دمای 22°C روزنرانی شده است: (الف) به مدت ۳ دقیقه، (ب) به مدت ۱۰ دقیقه [۱۶].

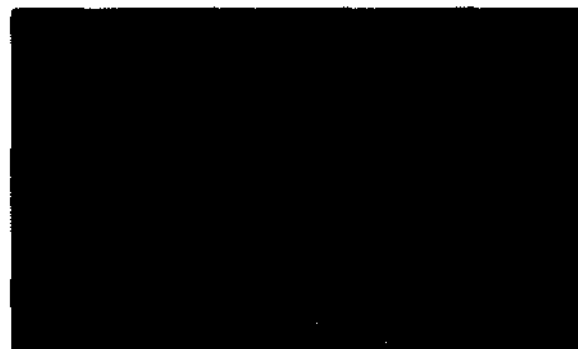




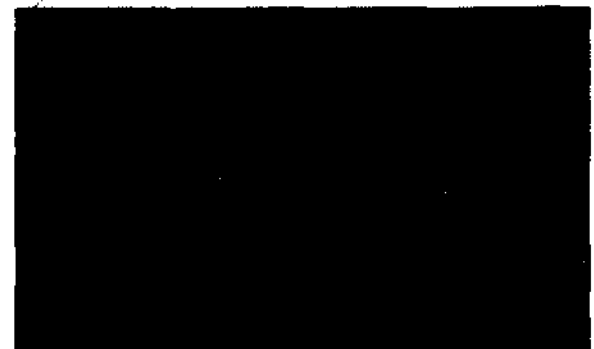
(ب)



(الف)

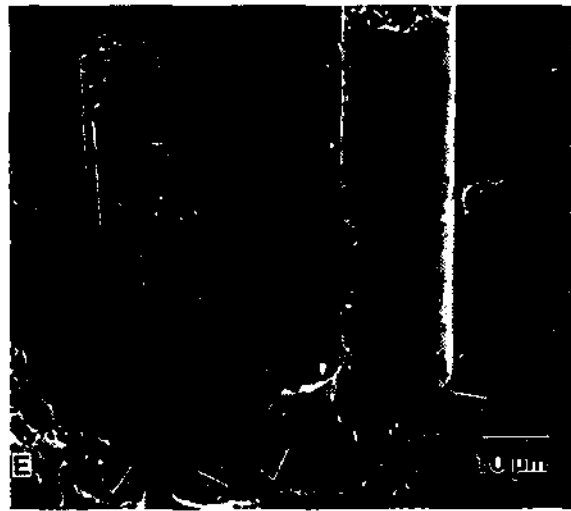


(د)



(ج)

شکل ۹- (الف) تصویر SEI یک پلیمر چندفازی که دارای ذرات بزرگ فاز پراشیده، ذرات کوچکتر و سوراخهایی است، (ب) تصویر BEI سطح که نشان می‌دهد ذرات عدد اتمی بزرگتر از ماتریس دارند، (ج) نقشه عنصری که نشان می‌دهد ذرات کوچک آنتیموان دارند و (د) ذرات بزرگتر حاوی کلر است [۶].

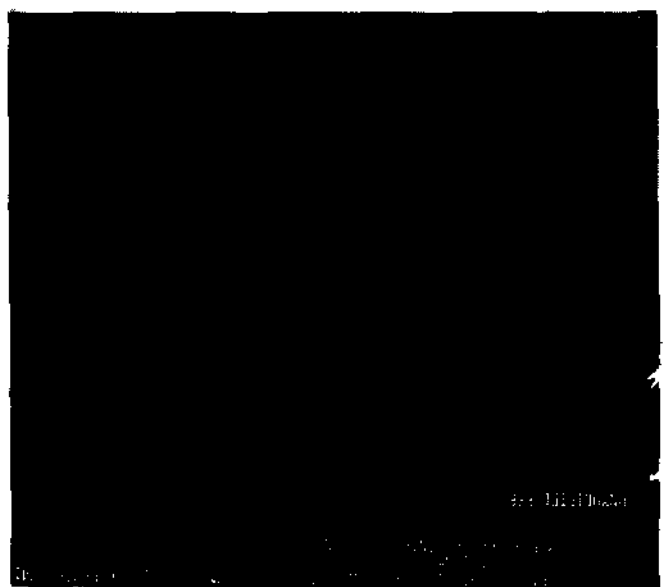


(ب)



(الف)

شکل ۱۰- سطح شکست دو نمونه کامپوزیت؛ (الف) الیاف به موازات پوسته جهت یافته و شکست ماتریس از نوع شکننده است و (ب) الیاف از سطح نمونه خارج شده و ترکشیدگی رزین کم است [۶].



شکل ۱۱- بررسی سطح EPR : (الف) قبل از اصلاح به کمک لیزر، (ب) پس از آنکه با کمک پرتو لیزر سطح اصلاح شد [۲۵].

امولسیونها و لاتکسها

اندازه ذرات، توزیع اندازه ذرات و شکل ذرات امولسیون خواص آن را معین می‌کند. با استفاده از روش‌های آماده‌سازی مناسب می‌توان به کمک SEM به بررسی عوامل یاد شده پرداخت.

در مورد لاتکسها نیز می‌توان به کمک SEM اندازه، توزیع اندازه و شکل ذرات را بررسی کرد. با این حال، ابزار موثرتر میکروسکوپ الکترونی عبوری است. لاتکسها تشکیل فیلهایی را می‌دهند که با SEM به آسانی قابل مشاهده و بررسی است و قابلیت آنها را در ایجاد پوشش روی سطوح نشان می‌دهد [۶].

چسبندگی و چسب

با توجه به گستردگی و تنوع کاربرد چسبها، مطالعه فصل مشترک چسب و سطحی که چسب روی آن اعمال می‌شود برای تعیین استحکام لایه‌برداری و ارتباط خواصی نظری استحکام پوستگی با شکل شناسی ضروری به نظر می‌رسد. چنین مطالعاتی غالباً با SEM انجام می‌گیرد. در بسیاری از موارد سطح الیاف با یک ماده پلیمری پوشش داده شده و آماده می‌شود [۶].

سایر کاربردها

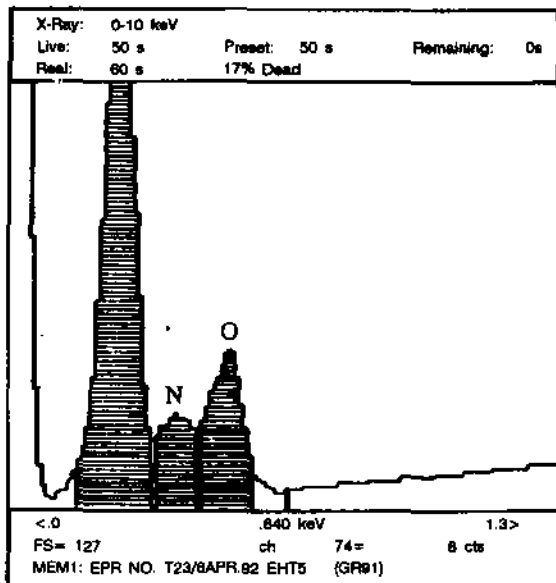
وقتی سیالات سنگین پلیمری با تغییر دما، فشار یا سیالیت فراورش می‌شوند، ممکن است تاحد زیادی انتقال فاز از طریق پدیده نفوذ روی دهد. اشاره می‌شود که در محلولهای غلیظتر به دلیل درگیر شدن زنجیرها سرعت انتقال فاز کاهش می‌یابد. ضریب نفوذ به وزن مولکولی و دما

لینفی یا ذره‌ای به ماتریس مورد توجه‌اند. میزان بیرون آمدگی الیاف از سطح شکست میکست معياری برای سنجش بعضی از خواص مکانیکی است. بررسی طول الیاف نیز عامل مهمی است، زیرا معمولاً فقط یک طول بحرانی وجود دارد که حداقل تقویت کشندگی را ایجاد می‌کند. طی فرایند تریک، طول الیاف نسبت به طول بحرانی کوتاه شده و بدین ترتیب خواص کامپوزیت تضعیف می‌شود. تصاویر SEI سطح شکست دو نمونه کامپوزیت در شکل‌های ۱۰ الف و ب نشان داده شده است. در پیوسته جهتگیری الیاف به موازات سطح ایجاد شده در هسته چهت‌یافتگی وجود ندارد (شکل ۱۰ الف). شکل ۱۰ ب نشان می‌دهد که ترشدگی لیف با رزین خیلی ضعیف است.

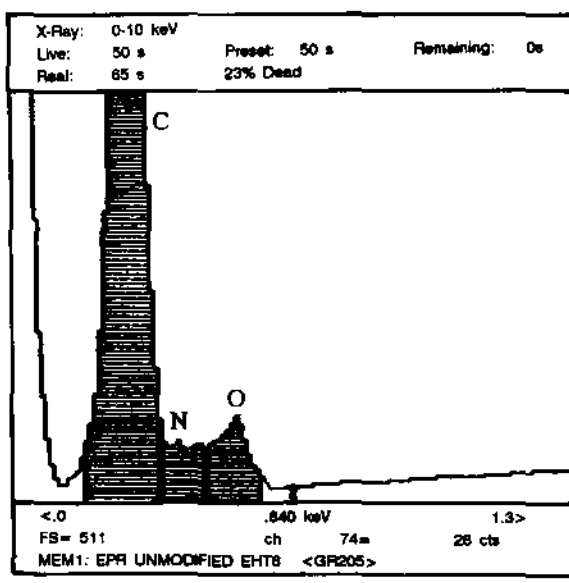
نحوه انتشار ترک در کامپوزیتها تقویت شده با الیاف کرین در درک خواص مکانیکی این مواد اهمیت بسزایی دارد. نحوه انتشار این ترکها، توزیع الیاف در رزینهایی از قبیل اپوکسی، ترشدگی لیف بوسیله رزین و وجود حفره در کامپوزیت، که می‌تواند باعث شروع شکست شود، به روش میکروسکوپی الکترون پویشی قابل مطالعه‌اند.

در سطح شکست نمونه‌های حاوی الیاف کرین در رزین حفره‌های مشاهده می‌شود که از مرتبط شوندگی بد الیاف بوسیله رزین ناشی می‌شوند. بنابراین، در این مواد شکست در سطح مشترک لیف - ماتریس اتفاق می‌افتد.

عوامل متعددی روی خواص مکانیکی کامپوزیتها مؤثرند. از جمله این عوامل می‌توان غلظت، نسبت طول به قطر الیاف، آماده‌سازی سطح، نوع فرایند، اندازه متوسط و توزیع اندازه ذرات پرکشندۀ را نام برد. بسیاری از این عوامل را می‌توان به کمک SEM بررسی کرد [۵، ۱۷].



(ب)



(الف)

شکل ۱۲- طیف تجزیه پرتوایکس (الف) پرتوایکس نمونه EPR اصلاح نشده و (ب) سطح پیوندشده با آکریل آمید [۲۴].

اصلاح کرد. از جمله این روشها اصلاح سطح PDMS به کمک لیزر و پیوندزنی آکریل آمید روی سطح EPR رامی توان نامبرد. در چنین مواردی بروز تغییرات در سطح نمونه هابه روش میکروسکوپ الکترونی و انجام فرایند کوپلیمر شدن به کمک تجزیه انرژی تفکیکی پرتوایکس قابل مطالعه اند (شکل‌های ۱۱ و ۱۲). همان‌طور که از شکل ۱۲ پیدا است، در طیف پرتوایکس نمونه پس از اصلاح سطح، عنصر نیتروژن دیده می‌شود که بروشی بر انجام فرایند کوپلیمر شدن دلالت دارد [۲۴، ۲۵].

به کمک ترکیبی از روش‌های ولتاوری و تجزیه پرتوایکس با دستگاه SEM می‌توان فلزات نادر را بررسی الکترونی دارای قدرت تفکیک زیاد می‌توان لایه تهذیف شده و مشخصات آن را بررسی کرد [۲۶].

مطلوب یادشده تها گوشاهی از قابلیتهای SEM را در مطالعات میکروسکوپی نشان می‌دهد. استفاده از این میکروسکوپ، به دلیل همراه بودن تجزیه‌گر پرتوایکس با آن، در بسیاری از زمینه‌ها رایج و مفید است. امروزه، از این ابزار در بررسی پراکنده‌گی پرکننده و شکل ذرات آن در ماتریس‌های پلیمری، اندازه‌گیری ابعاد این ذرات و تعیین جنس آنها [۲۷]، بررسی سالم بودن قطعات بسیار کوچک الکترونیکی، بررسی پدیده‌های خوردگی، تواحی خورده شده و عوامل خورنده در فلزات و بسیاری زمینه‌های دیگر استفاده می‌شود.

نتیجه گیری
میکروسکوپ الکترونی پویشی با بزرگنمایی بیش از صد هزار مرتبه و

بستگی دارد. در شرایطی که پلیمری بدون عنصر مشخص در مجاورت پلیمر حاوی عنصری مشخص نظری کلر جریان می‌یابد، نیم رخ غلظت کلر در پلیمر را می‌توان در محصول بدست آورد [۱۹].

پلیمرها ساختار مولکولی مشخصه دارند و در این ساختار زنجیرهای پلیمری در یکدیگر گره می‌خورند. با استفاده از میکروسکوپهای جدید امروزی می‌توان مشاهده کرد که در این پلیمرها نواحی درشت مولکولی لیفی شکلی بوجود آمده‌اند که لیفچه نامیده می‌شوند. معمولاً ابعاد لیفچه‌ها بسیار متغیر است. لیفچه‌ها و فضای بین آنها را با میکروسکوپهای الکترونی دارای قدرت تفکیک زیاد می‌توان مشاهده می‌شود [۱۹].

مکانیسم شکست در کامپوزیتها می‌باشد که با ایاف شیشه تقویت شده‌اند به کمک SEM قابل تعیین است. همچنین می‌توان مکانیسم شکست طی خستگی پلاستیک تقویت شده با ایاف شیشه (GRP) و تغییر این مکانیسم با درصد تقویت کننده را بررسی کرد [۲۰، ۲۱].

استفاده از پلیمرها در ساخت اعضای مصنوعی بدن کاربرد روزافرون دارد. تغییرات فیزیولوژیک ناشی از قرار گرفتن این اعضاء در بدن، بویزه تغییرات سلولهای بیگانه خوار و عکس العمل آنها در بررسی عضو جایگزین، از اهمیت ویژه‌ای در بررسی سازگاری عضو با بدن برخوردار است.

انجام چنین مطالعاتی با کمک SEM امکان پذیر است [۲۲، ۲۳]. به منظور تغییر خواص آب‌سازگاری و زیست‌سازگاری الاستومرهای زیست‌سازگار و در نتیجه قابل پیوندشدن این پلیمرها در سیستمهای حیاتی بدن لازم است با روش‌هایی خواص سطحی آنها را

- 11 Ingel J. and Crouch S.; *Spectro Chemical Analysis*; Prentice-Hall, New Jersey, 1988.
- 12 Manchester; *Analytical Electron Microscopy*; Luton Ltd., Manchester, 1987.
- 13 Jenkins R.; *An Introduction to X-Ray Spectroscopy*; John Wiley & Sons, Heyden, 1988.
- 14 Nicholson A.P. and Craven A.J.; *J. Microscopy*; 168, pt 3, 289-300, 1992.
- 15 Joy D. C.; *J. Microscopy*; 161, pt 2, 343-355, 1991.
- 16 Woodward A. E.; *Atlas of Polymer Morphology*; Hanser, 1988.
- 17 Kryszewski M. and Gateski A. J.; *Polymer Blend Processing Morphology and Properties*; 2, Academic, 1984.
- 18 Mark and Bikales; *Encyclopedia of Polymer Science and Engineering*; John Wiley and Sons, 12, 1988.
- 19 Ibid, 14.
- 20 Benzeggagh M.L. and Kenane M.; *Compos. Sci. Tech.*; 56, 4, 439, 1996.
- 21 Evans W. J., Isaac D. H. and Saib K. S.; *Composites*; 27A, 7, 547, 1996.
- 22 Tomczok J. and Tomczok W. S.; *Biomaterials*; 17, 14, 1996.
- 23 Bellon J. M., Bujan J. and Contreras L. A.; *Biomaterials*; 17, 13, 1996.
- ۲۴ - میرزاده، حمید، اصلاح خواص سطحی الاستومر EPR توسط پیوندزنی لیزری، مجله علوم و تکنولوژی پلیمر، سال ششم، شماره اول، اردیبهشت ۱۳۷۲
- 25 Mirzadeh H., Katbab A. A. and Burford R. P.; *Radial Phys. Chem.*; 41, 3, 507-519, 1993.
- 26 Strein T. G. and Ewing A. G.; *Anal. Chem.*; 65, 1203, 1993.
- 27 Mahmud F. and Atiqullah M.; *Eur. Polym. J.*; 28, 9, 1039, 1992.
- 28 *Scanning Electron Microscope*; Operation Manual, Cambridge Instrument Ltd, England, 1987.

قدرت تفکیک حدود nm ۳ از ابزاری مطمئن برای مطالعه در زمینه‌های زیست‌شناسی، متالورژی، الکترونیک و پلیمر است. این دستگاه اطلاعات کاملی درباره ساختار سطح، سطح شکست، پراکندگی فازها، سازگاری بین فازها و جهت یافشگی ارائه می‌دهد. میکروسکوپ الکترونی عمولاً به آشکارساز پرتوایکس مجهز است و امکان تجزیه عنصری در هر نقطه یا ناحیه از نمونه را فراهم می‌سازد. برای افزایش تباين تصویر، روش‌های نمونه سازی نظری حکاکی، لکه زایی و تهیه سطح شکست در دمای کنترل شده بکار می‌روند. عمق میدان بسیار خوب دستگاه باعث می‌شود تا آماده سازی نمونه برای کار میکروسکوپی به آسانی انجام گیرد. تفسیر صحیح نتایج حاصل از دستگاه می‌تواند اطلاعات دقیقی درباره علت تغییر برخی از خواص پلیمرها از جمله خواص مکانیکی در اختیار بگذارد.

مراجع

- ۱ - قالیچه‌چیان یوسف، کشتبد پرویز، فیزیک مدرن، انتشارات امیرکبیر، تهران، ۱۳۶۵.
- 2 Gluert A. M.; *Practical Methods in Electron Microscopy*; 2, North Holland, 1982.
- 3 Mark, Bikales, Overberger and Menges; *Encyclopedia of Polymer Science and Engineering*; 5, John Wiley and Sons, 1986.
- 4 Belk J. A.; *Electron Microscopy and Microanalysis of Crystalline Materials*; Applied Science, 1979.
- 5 *Rubber Chem. Tech.*; 57, 457, 1984.
- 6 Sawyer C. L. and Grubb D.; *Polymer Microscopy*; Chapman and Hall, 1987.
- 7 Kuo K.H. (Ed.); *The Application of Electron Microscopy to Materials Science*; Proceeding of an International Workshop, China, 1988.
- 8 Mark and Bikales; *Encyclopedia of Polymer Science and Engineering*; 3, John Wiley and Sons, 1985.
- 9 Ibid, 9.
- 10 Bethge H. and Heydenreich J. (Eds.); *Electron Microscopy in Solid State Physics*; Elsevier, 1982.